

<https://dorl.net/dor/20.1001>.....

Research Article

Economic Design of Renewable Hybrid System Based on Hydrogen and Thermal Storages Considering Electrical and Thermal Energy Management

Reza Sepahvand¹, Assistant Professor, Akbar Asgharzadeh-Bonab², Assistant Professor

¹Faculty of Aviation and Engineering- Imam Ali University, Tehran, Iran

²Department of science and technology studies- AJA Command and Staff University, Tehran, Iran
sephavand@iamu.ac.ir, akbar.asgharzadeh@casu.ac.ir

Abstract

This paper presents the optimal planning of renewable hybrid systems including wind turbines and bio-waste energy units according to hydrogen and thermal storages considering feeding of electrical and thermal energies. Bio-waste unit is based on the operation of the combined power and heat system, which produces electrical and thermal energy at the same time. Hydrogen storage is hybrid of an electrolyze, hydrogen tank, and fuel cell. The proposed scheme minimizes the total annual investment and maintenance costs. It is subject to the operation model of the mentioned elements. In the operation model of sources and storage, renewable sources supply loads of energy, then storage uses to cover the gap between the load and renewable power profiles. This paper uses the hybrid solver of the Gray wolf optimizer and the sine-cosine algorithm to obtain a reliable optimal solution with a low standard deviation in the final response. Finally, based on numerical results according to Espoo in Finland data, the proposed scheme's capability is confirmed in the Economic extraction of a 100% renewable island hybrid system suitable for simultaneous supply of electrical and thermal energy.

Keywords: bio-waste energy unit, energy management, hydrogen storage, renewable hybrid system, thermal storage, wind turbine

Received: 30 October 2022

Revised: 21 December 2022

Accepted: 11 February 2023

Corresponding Author: Dr. Reza Sepahvand

Citation: R. Sepahvand, A. Asgharzadeh-Bonab, "Economic design of renewable hybrid system based on hydrogen and thermal storages considering electrical and thermal energy management", Journal of Intelligent Procedures in Electrical Technology, vol. 15, no. 59, pp. 109-124, December 2024 (in Persian).

<https://dorl.net/dor/20.1001>

مقاله پژوهشی

برنامه‌ریزی بهینه سیستم تجدیدپذیر مبنی بر ذخیره‌سازهای هیدروژنی و حرارتی با در نظر گرفتن مدیریت انرژی الکتریکی و حرارتی

رضا سپهوند^۱، استادیار، اکبر اصغرزاده بناب^۲، استادیار

۱- دانشکده مهندسی و پرواز- دانشگاه امام علی (ع)، تهران، ایران

۲- گروه مطالعات علم و فناوری- دانشگاه فرماندهی و ستاد آجا، تهران، ایران

sephavand@iamu.ac.ir, akbar.asgharzadeh@casu.ac.ir

چکیده: در این مقاله برنامه‌ریزی بهینه سیستم تجدیدپذیر دارای توربین بادی و واحد انرژی بیوماس مبنی بر ذخیره‌ساز هیدروژنی با در نظر گرفتن تغذیه همزمان انرژی‌های الکتریکی و حرارتی ارائه می‌شود. واحد بیوماس مبنی بر عملکرد سیستم ترکیبی برق و حرارت است که همزمان انرژی الکتریکی و حرارتی تولید می‌کند. ذخیره‌ساز هیدروژنی ترکیبی از الکتروولیزر، هیدروژن تانک و پیل سوختی است. طرح پیشنهادی مجموع هزینه‌های سالانه احداث، تعمیر و نگهداری منابع و ذخیره‌سازها را کمینه‌سازی می‌کند که مقید به مدل بهره‌برداری عناصر یاد شده است. در مدل بهره‌برداری منابع و ذخیره‌سازها، ابتدا تأمین انرژی بر عهده منابع تجدیدپذیر است، سپس ذخیره‌سازها جهت پوشش فاصله بین پروفیل بار و توان تجدیدپذیر استفاده می‌شوند. در این مقاله، حل کننده ترکیبی شامل بهینه‌ساز گرگ خاکستری و الگوریتم سینوس-کسینوس برای استخراج راه حل بهینه مطمئن دارای انحراف معیار پایین در پاسخ‌دهی نهایی استفاده می‌شود. درنهایت با استخراج نتایج عددی مناسب با داده‌های شهر اسپو در فنلاند، قابلیت طرح پیشنهادی در استخراج اقتصادی سیستم ترکیبی جزیره‌ای ۱۰۰ درصد تجدیدپذیر مناسب با تأمین همزمان انرژی الکتریکی و حرارتی تأیید می‌شود.

کلمات کلیدی: توربین بادی، ذخیره‌ساز هیدروژنی، ذخیره‌سازی حرارتی، سیستم ترکیبی تجدیدپذیر، مدیریت انرژی، واحد انرژی بیوماس

تاریخ ارسال مقاله: ۱۴۰۱/۸/۸

تاریخ بازنگری مقاله: ۱۴۰۱/۰۹/۳۰

تاریخ پذیرش مقاله: ۱۴۰۱/۱۱/۲۲

نام نویسنده‌ی مسئول: دکتر رضا سپهوند

نشانی نویسنده‌ی مسئول: تهران- خیابان امام خمینی (ره)- دانشگاه امام علی (ع)- دانشکده مهندسی و پرواز

۱- مقدمه

برخی از مصرف‌کننده‌ها به علت عدم دسترسی به شبکه توزیع انرژی در قالب سیستم جزیره‌ای توسط منابع و ذخیره‌سازها مختلف تغذیه می‌شوند [۱]. این سیستم بهمنظور دسترسی به شرایط تغذیه انرژی پاک از منابع انرژی تجدیدپذیر^۱ (RESها) استفاده می‌کنند [۲]. واحدهای بیوماس^۲ از تبدیل زباله‌های زیستمحیطی به گاز متان و سپس تبدیل آن به انرژی، انرژی مصرفی مصرف‌کننده‌ها را تأمین می‌کنند [۳]. RESها به علت عدم وابستگی به سوخت فسیلی، دارای آلایندگی پایینی هستند. واحدهای بیوماس به علت حذف یا مصرف زباله‌های زیستمحیطی در کاهش آلودگی زیستمحیطی نقش مؤثری دارند. پس استفاده از منابع مذکور در سیستم جزیره‌ای قابل توجه است. در ادامه، پروفیل توان مصرفی مصرف‌کننده با پروفیل توان تولیدی RESها متفاوت است؛ لذا جهت پرشدگی فاصله بین پروفیل بار و تولید نیاز به استفاده از ذخیره‌ساز انرژی در کنار RESها است [۱]. پروفیل بار (تولید) اشاره به منحنی توان بار (تولیدکننده) بر حسب زمان دارد. ذخیره‌ساز در ساعاتی که انرژی تولیدی بیش از انرژی مصرفی است، در مد شارژ کار می‌کند و مازاد انرژی تولیدی را در خود ذخیره می‌کند. آن سپس در ساعاتی که انرژی مصرفی بیش از انرژی تولیدی است، در مد دشارژ فعالیت می‌کند و کمبود انرژی مصرفی را تأمین می‌کند [۱]. به عنوان موضوع دیگر، در مناطق مصرف عموماً احتمال استفاده از انرژی‌های الکتریکی و حرارتی بالا است، لذا سیستم مذکور باید قادر به تأمین همزمان این انرژی‌های باشد. در این شرایط و جهت بهبود راندمان انرژی، واحدهای ترکیب برق و حرارت^۳ (CHP) نقش مؤثری را قادر هستند که ایفا کنند [۴]. البته استخراج این واحد توسط RESها امکان‌پذیر است. به عنوان مثال، واحد بیوماس زباله زیستمحیطی را به گاز متان تبدیل می‌کند. سپس یک CHP می‌تواند این گاز را به انرژی الکتریکی و حرارتی تبدیل کند؛ بنابراین می‌توان با استفاده از منابع ۱۰۰ درصد تجدیدپذیر همزمان انرژی‌های الکتریکی و حرارتی را در سیستم جزیره‌ای تأمین کرد. همچنین برای این که بتوان یک ساختار بهینه برای سیستم جزیره‌ای استخراج کرد، نیاز به یک مسئله برنامه‌ریزی بهینه است. در این مسئله تعداد و اندازه بهینه منابع و ذخیره‌سازها مشخص می‌شود [۵]. در زمینه برنامه‌ریزی سیستم ترکیبی جزیره‌ای^۴ مطالعه‌ها و تحقیقاتی مختلفی انجام شده است. در مرجع [۶] برنامه‌ریزی سیستم ترکیبی خورشیدی/دیزل ژنراتور-باتری باهدف کمینه‌سازی هزینه برنامه‌ریزی، کمینه‌سازی سطح آلایندگی و بیشینه‌سازی قابلیت اطمینان در نظر گرفته شده است. در مرجع [۷] مشابه مرجع [۶]، اهداف اقتصادی، قابلیت اطمینان و زیستمحیطی لحاظ شده است، ولی برنامه‌ریزی را بر روی سیستم ترکیبی خورشیدی/بیوماس/ذخیره‌ساز هیدروژنی جهت تأمین انرژی الکتریکی ارائه می‌دهد. ذخیره‌سازی هیدروژنی دارای الکترولیز، تانک هیدروژنی و پیل سوختی است. در مرجع [۸] برنامه‌ریزی بهینه سیستم دارای فتوولتائیک، توربین بادی و باتری با در نظر گرفتن کمینه‌سازی هزینه‌های احداث، تعمیر و نگهداری و قابلیت اطمینان به عنوانتابع هدف فرمول بندی شده است. برای قابلیت اطمینان، از شاخص احتمال انرژی از دست‌رفته^۵ (LOEP) استفاده کرده است. در مرجع [۹] اندازه بهینه‌ای برای سیستم ترکیبی شامل توربین بادی^۶ (WT)، فتوولتائیک^۷ (PV)، دیزل ژنراتور و باتری با توجه به کمینه‌سازی هزینه‌های نصب، تعمیر و بهره‌برداری آن‌ها به دست آمده است. مدل ارائه شده به صورت برنامه‌ریزی قطعی غیرخطی است که برای حل آن از الگوریتم جستجوی هارمونی^۸ (HSA) استفاده شده است. طرحی مشابه مرجع [۱۰] نیز در مرجع [۹] در نظر گرفته شده است، با این تفاوت که آن دارای WT نیست و همچنین شاخص از دست‌رفته^۵ (LOEP) به منظور ارزیابی قابلیت اطمینان سیستم ترکیبی را هم در نظر گرفته است. در مرجع [۱۱] جهت تأمین بار AC یک منطقه مشخص از سیستم ترکیبی PV دیزل ژنراتور، پیل سوختی، باتری و ذخیره‌ساز ابرخازنی با توجه به کمینه‌سازی هزینه برنامه‌ریزی و آلودگی استفاده شده است. همچنین امکان‌سنجی احداث سیستم ترکیبی PV/دیزل ژنراتور/باتری در مناطق مسکونی مستقر در نواحی بسیار سرد در مرجع [۱۲] مورد بررسی قرار گرفته است. در مراجعهای [۱۱] و [۱۲] به منظور کمینه‌سازی آلودگی زیستمحیطی اولویت تأمین انرژی با منابع تجدیدپذیر و ذخیره‌سازها است و منبع تجدیدناپذیر مانند دیزل ژنراتور به عنوان منبع پشتیبان در نظر گرفته شده‌اند. به طوری که اگر منابع تجدیدپذیر و ذخیره‌سازها در تغذیه انرژی مصرفی موفق نباشند، منبع تجدیدناپذیر کمبود انرژی مصرفی را تأمین می‌کند. در مرجع [۱۳] برنامه‌ریزی سیستم ترکیبی دارای باتری لحاظ شده است به طوری که کاهش عمر مفید باتری در اثر سیکل کاری شارژ/دشارژ آن‌ها در نظر گرفته شده است. در مرجع [۱۴] نیز برنامه‌ریزی سیستم ترکیبی جزیره‌ای با در نظر گرفتن کمینه‌سازی هزینه و سطح آلایندگی فرمول بندی شده و درنهایت الگوریتم بهینه‌سازی از دحام ذرات^{۱۰} (PSO) برای

حل مسئله استفاده شده است. در مرجع [۱۵]، برنامه‌ریزی بهینه سیستم ۱۰۰ درصد تجدیدپذیر دارای PV و WT و ذخیره‌سازی هیدروژنی ارائه شده که جهت تأمین انرژی الکتریکی است و هدف آن دستیابی به کمینه هزینه برنامه‌ریزی است. در مرجع [۱۶] از سیستم ترکیبی برق و حرارت (CHP) برای کنترل و بهبود پروفیل ولتاژ یک ریز شبکه استفاده شده که در آن CHP با کنترل توان مانند توان اکتیو قادر به ارتقای ولتاژ بسیاری ریز شبکه بوده است. درنهایت خلاصه تعدادی از مطالعه‌های انجام شده در پیشینه تحقیق در جدول (۱) آمده است. توجه شود که در مناطق مصرف عموماً انرژی الکتریکی و حرارتی به صورت همزمان مصرف می‌شوند. ولی بر اساس جدول (۱) در اکثر تحقیق‌ها مانند مراجع‌های [۶] الی [۱۵]، طراحی ساختار سیستم جزیره‌ای مبنی بر تأمین انرژی الکتریکی بوده و تأمین همزمان انرژی‌های مختلف در سیستم مذکور کمتر مورد توجه بوده است. واحد تولید توان بیوماس^{۱۱} (BPG) قادر به تولید همزمان انرژی‌های الکتریکی و حرارتی توسط زباله‌های زیست‌محیطی است [۳]. از این رو حضور آن در سیستم جزیره‌ای می‌تواند در تأمین همزمان انرژی‌های مذکور باهدف راندمان بالای انرژی مؤثر باشد. ولی حضور این نوع منبع تجدیدپذیر در سیستم مذکور در کمتر تحقیق‌هایی مانند مرجع [۷] لاحظ شده که آن هم تنها مدل تولید انرژی الکتریکی را برای BPG در نظر گرفته است. از آنجاکه مدل انرژی حرارتی در کمتر تحقیقاتی برای سیستم جزیره‌ای مورد بحث بوده است، لذا مدل عملکرد ذخیره‌ساز حرارتی نیز در این مسئله کمتر لاحظ شده است. اما پروفیل توان تولیدی BPG متفاوت از پروفیل بار حرارتی است، لذا حضور ذخیره‌ساز حرارتی در چنین شرایطی حتمی است. در این مقاله جهت جبران شکاف‌های تحقیقاتی مطرح شده، برنامه‌ریزی سیستم ترکیبی جزیره‌ای دارای WT، BPG، ذخیره‌ساز هیدروژنی^{۱۲} (HS) و ذخیره‌ساز انرژی حرارتی^{۱۳} (TES) مانند شکل (۱) بیان می‌شود. سیستم HS ترکیبی از الکتروولیزر^{۱۴} (EL)، تانک هیدروژنی^{۱۵} (HT) و پیل سوختی^{۱۶} (FC) است. در مدل شارژ این ذخیره‌ساز، EL انرژی الکتریکی را با تبدیل به هیدروژن در HT ذخیره می‌کند. در مدل دشارژ نیز FC هیدروژن ذخیره شده در HT را با تبدیل به انرژی الکتریکی به سیستم جزیره‌ای تحويل می‌دهد. طرح پیشنهادی کمینه‌سازی مجموع هزینه‌های سالانه احداث، تعمیر و نگهداری منابع، ذخیره‌سازها و مبدل‌های الکترونیک قدرت را بر عهده دارد. مسئله مقید به مدل بهره‌برداری منابع، ذخیره‌سازها، و مبدل‌ها است. در مدل بهره‌برداری عناصر یاد شده، ابتدا اولویت تأمین انرژی حرارتی (الکتریکی) با BPG و WT است. سپس درصورتی که انرژی تولیدی این منابع بیشتر (کمتر) از انرژی مصرفی باشد، ذخیره‌سازها هیدروژنی و حرارتی در مدل شارژ (دشارژ) فعالیت می‌کنند. در ادامه از حل کننده ترکیبی مبنی بر ترکیب بهینه‌سازی گرگ خاکستری^{۱۷} (GWO) و الگوریتم سینوس-کسینوس^{۱۸} (SCA) برای استخراج راه حل بهینه مطمئن استفاده می‌شود. درنهایت با مقایسه طرح پیشنهادی و پیشینه تحقیق، نوآوری‌های زیر برای این طرح قابل بیان است:

- برنامه‌ریزی سیستم ترکیبی جزیره‌ای ۱۰۰ درصد تجدیدپذیر به منظور تعیین اندازه و تعداد بهینه منابع و ذخیره‌سازها باهدف تأمین همزمان انرژی‌های الکتریکی و حرارتی
- فرمول‌بندی عملکرد واحد تولید توان بیوماس با لاحاظ کردن قابلیت آن در تولید همزمان انرژی الکتریکی و حرارتی
- مدل سازی عملکرد ذخیره‌ساز حرارتی در پوشش فاصله بین پروفیل بار حرارتی و توان تولیدی BPG در ادامه مقاله به این شرح سازمان‌دهی شده است: در بخش دوم فرمول‌بندی برنامه‌ریزی سیستم ترکیبی پیشنهادی بیان می‌شود. سپس در بخش سوم روند حل مسئله مبنی بر ترکیب GWO و SCA ارائه می‌شود. در بخش چهارم نتایج عددی حاصل از مطالعاتی مختلف تحلیل می‌گردد. درنهایت نتیجه‌گیری در بخش پنجم ذکر شده است.

۲- برنامه‌ریزی سیستم جزیره‌ای

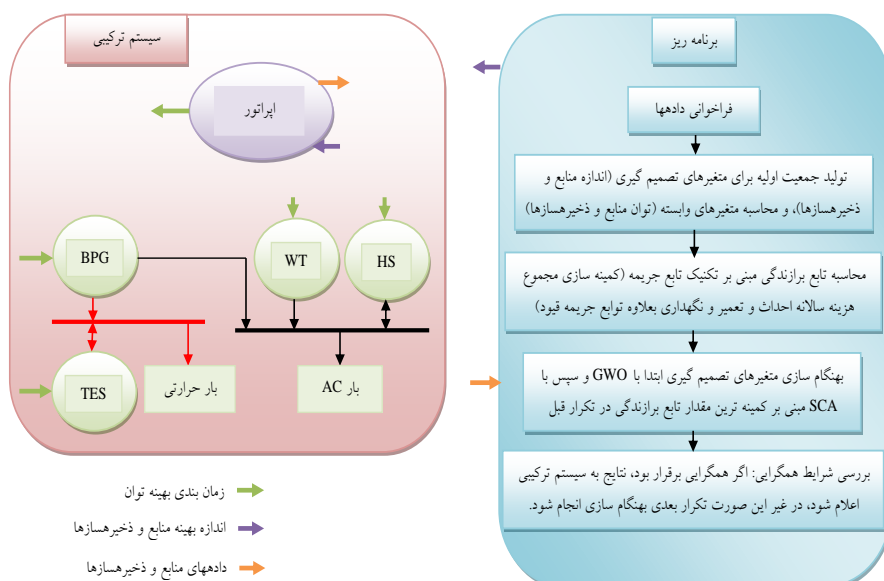
۱- ساختار سیستم

در مناطق مصرف عموماً مصرف کننده‌ها دارای دو انرژی مصرفی الکتریکی و حرارتی هستند. همچنین با پیشرفت فناوری‌ها امکان تولید یک انرژی از مصرف انرژی دیگر قابل دسترس است. مانند CHP که انرژی گازی را به انرژی‌های الکتریکی و حرارتی تبدیل می‌کند؛ لذا برای این که بتوان در این شرایط از راندمان انرژی بالایی برخوردار بود، نیاز به بهینه‌سازی عملکرد منابع و ذخیره‌سازها در سیستم جزیره‌ای است.

Table (1): Summary of the works done in the background of the research

جدول (۱): خلاصه تعدادی از مطالعه‌های انجام شده در پیشینه تحقیق

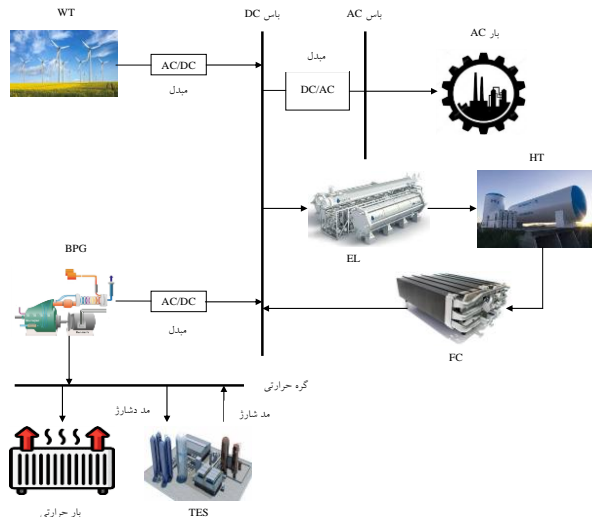
بهره‌برداری ذخیره‌ساز انرژی حرارتی	بهره‌برداری واحد بیوماس	مدیریت انرژی	مرجع
خیر	خیر	الکتریکی	[۶]
خیر	بله- تنها در نظر گرفتن مدل تولید انرژی الکتریکی	الکتریکی	[۷]
خیر	خیر	الکتریکی	[۸]
خیر	خیر	الکتریکی	[۹]
خیر	خیر	الکتریکی	[۱۰]
خیر	خیر	الکتریکی	[۱۱]
خیر	خیر	الکتریکی	[۱۲]
خیر	خیر	الکتریکی	[۱۳]
خیر	خیر	الکتریکی	[۱۴]
خیر	خیر	الکتریکی	[۱۵]
خیر	خیر	الکتریکی و حرارتی	[۱۶]
بله	بله- مبنی بر مدل CHP	الکتریکی و حرارتی	طرح پیشنهادی



شکل (۱): چارچوب برنامه‌ریزی سیستم جزیره‌ای تجدیدپذیر مبنی بر تغذیه انرژی الکتریکی و حرارتی

Figure (1): Renewable island system planning framework based on electric and thermal energy supply

این بهینه‌سازی علاوه بر ارتقای راندمان انرژی قادر است که اهداف اقتصادی، بهره‌برداری، زیست‌محیطی و قابلیت اطمینان مطلوبی را برای سیستم جزیره‌ای در برداشته باشد؛ لذا در ادامه روند بهینه‌سازی عملکرد منابع و ذخیره‌سازها در سیستم جزیره‌ای ارائه می‌شود. در شکل (۲) ساختار پیشنهادی برای سیستم ترکیبی جزیره‌ای نمایش داده شده است. در بخش الکتریکی، آن دارای دو بس AC و DC است. از آنجاکه ولتاژ خروجی WT و BPG به صورت موج AC فرکانس متغیر است [۷,۸]، لذا برای ایجاد فرکانس ثابت مناسب با فرکانس کاری بار AC، ابتدا این منابع از طریق مبدل AC/DC به بس DC متصل می‌شوند. سپس این بس توسط مبدل DC/AC به بس AC متصل می‌گردد. این مبدل یک فرکانس ثابت در بس AC ایجاد می‌کند. در ذخیره‌ساز هیدروژنی، الکتروولیزر برای تولید هیدروژن نیاز به برق DC دارد [۷]، لذا این ذخیره‌ساز از بس DC تغذیه می‌شود. البته توجه شود که در مد شارژ HS، تنها الکتروولیزر فعال است و سپس هیدروژن تولیدی آن در تانک هیدروژنی ذخیره می‌شود. در مد دشارژ HS، پیل سوختی فعال می‌شود که آن هیدروژن در HT را به برق DC تبدیل می‌کند.



شکل (۲): ساختار پیشنهادی برای سیستم جزیره‌ای

Figure (2): Proposed structure for the island system

در بخش الکتریکی اولویت تأمین بار AC توسط منابع تجدیدپذیر WT و BPG است. سپس HS فاصله بین پروفیل‌های توان بار و منابع را پر می‌کنند. به عبارتی در ساعتی که انرژی تولیدی WT و BPG بیش از انرژی مصرفی بار AC باشد، مازاد انرژی تولیدی در HS ذخیره می‌گردد. در ساعتی که انرژی مصرفی بیش از انرژی تولید است، کمبود مصرف توسط ذخیره‌ساز مذکور تأمین می‌شود. در بخش حرارتی تنها یک گره حرارتی وجود دارد. در این گره BPG توان حرارتی تولید خود را برای تغذیه بار حرارتی می‌فرستد. سپس TES فاصله بین پروفیل‌های توان حرارتی تولیدی و مصرفی را پر می‌کند که عملکرد آن همانند HS است. در ادامه جهت دسترسی به عملکرد بهینه در سیستم ترکیبی جزیره‌ای پیشنهادی متناسب با کاهش آلاینده‌های زیستمحیطی، شرایط عملکرد منابع و ذخیره‌سازها به شرح زیر است:

- ۱- در بخش الکتریکی، اولویت تغذیه انرژی مصرفی بر عهده WT و BPG است.
- ۲- در بخش الکتریکی، چنانچه مجموع انرژی تولیدی WT و BPG بیش از انرژی مصرفی باشد، HS در مد شارژ کار می‌کنند، در غیر این صورت آن در مد دشارژ فعال هستند.
- ۳- در بخش حرارتی، اولویت تغذیه انرژی مصرفی بر عهده BPG است.
- ۴- در بخش حرارتی، اگر انرژی تولیدی BPG بیشتر از انرژی مصرفی باشد، TES در مد شارژ کار می‌کنند، در غیر این صورت آن در مد دشارژ فعال است.

۲-۲- فرمول‌بندی طرح پیشنهادی

در این بخش فرمول‌بندی برنامه‌ریزی سیستم ترکیبی پیشنهادی متناسب با شکل (۲) بیان می‌شود.تابع هدف برابر با کمینه‌سازی مجموع هزینه‌های سالانه احداث، و تعمیر و نگهداری است. قیود آن شامل مدل بهره‌برداری منابع، ذخیره‌سازها، و مبدل الکترونیک قدرت است. این طرح برای یک سیستم دور از دسترس سیستم قدرت الکتریکی و حرارتی در نظر گفته شده است، به طوری برق‌رسانی برای این سیستم توسط شبکه قدرت محدود نباشد و صرفه اقتصادی نداشته باشد. در ادامه جزئیات مسئله بیان می‌شود.

الف- تابع هدف: در این طرح پیشنهادی هدف کمینه‌سازی هزینه سالیانه برنامه‌ریزی (APC) بر حسب دلار بر سال) منابع، مبدل‌های الکترونیک قدرت و ذخیره‌سازها در قالب سیستم ترکیبی مانند رابطه (۱) است. این هزینه نیز برابر مجموع هزینه‌های احداث، تعمیر و نگهداری برای عناصر مذکور است. فرمول‌بندی این دو هزینه به ترتیب در سطرهای ۱ و ۲ رابطه (۱) ارائه شده است [۸]. هزینه‌های مذکور بر حسب دلار هستند. در این رابطه، متغیرهای N^{WT} , N^{BPG} , N^{HT} , N^{EL} , N^{FC} و N^I به ترتیب معرف تعداد WT, BPG, HT, EL, TES و مبدل الکترونیک قدرت قابل نصب در سیستم ترکیبی است. پارامترهای C و M با اندیس‌های WT, BPG, HT, EL, TES, FC و I معرف هزینه سالانه احداث، هزینه تعمیر و نگهداری برای

TES و مبدل الکترونیک قدرت هستند. این پارامترها بر حسب دلار بیان می‌شوند. ضریب λ نیز برای تبدیل هزینه احداث به هزینه فعلی خالص^{۱۹} استفاده می‌شوند که فرمول بندی آن در رابطه (۲) بیان شده است [۹]. در این رابطه‌ها r معرف نرخ بهره بر حسب درصد بیان می‌شود و n معرف تعداد سال برنامه‌ریزی در سیستم ترکیبی است.

$$\min_{\text{CNPC}} \text{APC} = \frac{\lambda \left(N^{\text{WT}} C^{\text{WT}} + N^{\text{BPG}} C^{\text{BPG}} + N^{\text{HT}} C^{\text{HT}} + N^{\text{EL}} C^{\text{EL}} + N^{\text{FC}} C^{\text{FC}} + N^{\text{T}} C^{\text{T}} + N^{\text{I}} C^{\text{I}} \right)}{O \& M - NPC} + \left(N^{\text{WT}} M^{\text{WT}} + N^{\text{BPG}} M^{\text{BPG}} + N^{\text{HT}} M^{\text{HT}} + N^{\text{EL}} M^{\text{EL}} + N^{\text{FC}} M^{\text{FC}} + N^{\text{T}} M^{\text{T}} + N^{\text{I}} M^{\text{I}} \right) \quad (1)$$

به طوری که:

$$\lambda = \frac{(1+r)^n - 1}{r(1+r)^n} \quad (2)$$

ب- قیود توربین‌های بادی [۱]: مجموع توان اکتیو تولیدی P_t^{WT} ‌ها در ساعت t بر حسب کیلووات در سیستم ترکیبی پیشنهادی بر اساس رابطه (۳) قابل استخراج است. در این رابطه، چهار ناحیه کاری برای WT وجود دارد. چنانچه پارامتر سرعت باد (v) بر حسب متر بر ثانیه) کمتر از سرعت آستانه^{۲۰} (v^{ci}) بر حسب متر بر ثانیه) باشد، WT خاموش است. ولی چنانچه آن در بین v^{ci} و سرعت نامی^{۲۱} (v^r) بر حسب متر بر ثانیه) باشد، متغیر P^{WT} به صورت خطی با ضریب p^r افزایش می‌یابد. پارامتر p^r معرف توان نامی^{۲۲} توربین بادی بر حسب کیلووات است. در ناحیه سوم، چنانچه سرعت باد بین v^r و سرعت قطع^{۲۳} (v^{co}) بر حسب متر بر ثانیه) باشد، WT توان ثابتی برابر با $N^{\text{WT}} p^r$ را تولید می‌کند. در نهایت، چنانچه سرعت باد بیش از v^{co} باشد، WT خاموش است. تعداد قابل نصب WT در سیستم ترکیبی نیز مانند رابطه (۴) به صورت یک متغیر عدد صحیح است، که دارای حداقل مقدار N^{WT} است.

$$P_t^{\text{WT}} = \begin{cases} 0 & v_t \leq v^{ci} \text{ and } v_t \geq v^{co} \\ N^{\text{WT}} p^r \frac{v_t - v^{ci}}{v^r - v^{ci}} & v^{ci} \leq v_t \leq v^r \\ N^{\text{WT}} p^r & v^r \leq v_t \leq v^{co} \end{cases} \quad (3)$$

$$N^{\text{WT}} \in \{1, 2, \dots, \bar{N}^{\text{WT}}\} \quad (4)$$

ج- قیود بیوماس‌ها: مجموع توان اکتیو تولیدی BPG ‌ها در ساعت t بر حسب کیلووات بر اساس رابطه (۵) برابر حاصل ضرب تعداد BPG ‌ها، راندمان تبدیل الکتریکی (η^{BPG} بر حسب درصد)، گاز عبوری در ساعت t (G_t^{BPG}) بر حسب مترمکعب بر ساعت و میزان حد پایین حرارتی^{۲۴} (LHV^{BPG}) بر حسب کیلووات-ساعت بر مترمکعب است [۷]. LHV^{BPG} بر اساس رابطه (۶) متناسب با درصد متان موجود در گاز (P^{CH_4}) و میزان حد پایین حرارتی متان (LHV^{CH_4}) بر حسب کیلووات-ساعت بر متر مکعب است. مجموع توان حرارتی تولیدی BPG ‌ها در ساعت t (H_t^{BPG}) بر حسب کیلووات ضریبی از توان اکتیو آن است، که این موضوع در رابطه (۷) بیان شده است [۴]. در این رابطه پارامترهای η^{BPG} و η^{hBPG} به ترتیب معرف راندمان تبدیل حرارتی و راندمان تلفاتی هستند که بر حسب درصد بیان می‌شوند. درنهایت تعداد قابل نصب BPG ‌ها در سیستم ترکیبی دارای محدودیتی مانند رابطه (۸) دارد، که در این رابطه، پارامتر N^{BPG} نمایانگر حداقل تعداد BPG ‌ها است.

$$P_t^{\text{BPG}} = N^{\text{BPG}} \eta^{\text{BPG}} G_t^{\text{BPG}} LHV^{\text{BPG}} \quad \forall t \quad (5)$$

$$LHV^{\text{BPG}} = \frac{\rho^{\text{CH}_4}}{100} LHV^{\text{CH}_4} \quad (6)$$

$$H_t^{\text{BPG}} = \frac{(1 - \eta^{\text{BPG}} - \eta^{\text{hBPG}}) \eta^{\text{hBPG}}}{\eta^{\text{BPG}}} P_t^{\text{BPG}} \quad \forall t \quad (7)$$

$$N^{\text{BPG}} \in \{1, 2, \dots, \bar{N}^{\text{BPG}}\} \quad (8)$$

د) قیدهای ذخیره‌ساز هیدروژنی: بر اساس شرط دوم در بخش دوم، چنانچه در بخش الکتریکی مجموع توان اکتیو تولیدی WT و BPG ‌ها از دید باس DC در ساعت t ، یعنی (A) در رابطه شماره (۹)، بیش از میزان توان اکتیو بار AC (P^L) بر حسب kW از

دید باس DC (B) باشد، EL توان اکتیو از باس DC دریافت می‌کند [۷]. در این صورت بر اساس رابطه (۹)، متغیر توان اکتیو P_t^E بر حسب kW (B) برابر متفاوت (A) و (B) خواهد بود. در این رابطه، η بیانگر راندمان مبدل الکترونیک قدرت بر حسب درصد است. در این شرایط، متغیر توان اکتیو P_t^F (FC) بر حسب kW (B) برابر صفر است. اما در صورتی که مجموع توان اکتیو تولیدی منابع تجدید پذیر (A) کمتر از (B)، باشد، بر اساس رابطه (۱۰)، P_t^F برابر متفاوت (B) و (A) خواهد بود. در این وضعیت، P_t^E برابر صفر است. در رابطه (۱۱)، انرژی ذخیره شده در تانک‌های هیدروژن برای ساعت t (E_t^{HT}) بر حسب کیلووات-ساعت محاسبه می‌شود. آن وابسته به E_t^{HT} در ساعت قبل (E_{t-1}^{HT}) ، انرژی دریافت شده از ELها (η^{EP_E})، و انرژی تحويل داده شده به سیستم توسط FCها (B) است. پارامترهای η^E و η^F نیز به ترتیب معرف راندمان EL و FC بر حسب درصد هستند. در رابطه (۱۲)، محدودیت انرژی ذخیره شده در HTها لحاظ شده است، که \underline{E}_t^{HT} و \bar{E}_t^{HT} (بر حسب کیلووات-ساعت) به ترتیب بیانگر حد پایین و بالای انرژی ذخیره شده در یک HT است. تعداد HT قابل نصب در سیستم ترکیبی (N^{HT}) بر اساس رابطه (۱۳) یک متغیر عدد صحیح است که دارای حداقل مقدار \bar{N}^{HT} است. در رابطه‌های (۱۴) و (۱۵) به ترتیب تعداد ELها (N^{EL}) و FC‌های (N^{FC}) قابل نصب در سیستم ترکیبی محاسبه می‌شوند. N^{EL} بر اساس نسبت حداقل توان اکتیو ELها (FCها) به توان نامی EL (FC) است. توان نامی EL و FC در رابطه‌های (۱۴) و (۱۵) به ترتیب با پارامترهای \bar{P}^{EL} و \bar{P}^{FC} نمایان شده‌اند که بر حسب کیلووات هستند.

$$\begin{cases} P_t^E = \left(P_t^{WT} + P_t^{BPG} \right) \eta^I - \frac{P_t^L}{\eta^I} \\ P_t^F = 0 \end{cases} \quad \text{if } \left(P_t^{WT} + P_t^{BPG} \right) \eta^I \geq \frac{P_t^L}{\eta^I} \quad \forall t \quad (9)$$

$$\begin{cases} P_t^F = \left(\frac{P_t^L}{\eta^I} - \left(P_t^{WT} + P_t^{BPG} \right) \eta^I \right) \\ P_t^E = 0 \end{cases} \quad \text{if } \left(P_t^{WT} + P_t^{BPG} \right) \eta^I < \frac{P_t^L}{\eta^I} \quad \forall t \quad (10)$$

$$E_t^{HT} = E_{t-1}^{HT} + \eta^E P_t^E - \frac{1}{\eta^F} P_t^F \quad \forall t \quad (11)$$

$$N^{HT} \underline{E}_t^{HT} \leq E_t^{HT} \leq N^{HT} \bar{E}_t^{HT} \quad \forall t \quad (12)$$

$$N^{HT} \in \{1, 2, \dots, \bar{N}^{HT}\} \quad (13)$$

$$N^{EL} = \frac{\max(P_t^E)}{\bar{P}^{EL}} \quad (14)$$

$$N^{FC} = \frac{\max(P_t^F)}{\bar{P}^{FC}} \quad (15)$$

۵) قیدهای ذخیره‌سازهای انرژی حرارتی: بر اساس شرط چهارم در بخش دوم، چنانچه توان حرارتی تولیدی BPG‌ها بیش از توان حرارتی مصرفی (H^L بر حسب کیلووات-ساعت) باشد، یعنی $H_t^{BPG} \geq H_t^L$. لذا مازاد توان حرارتی تولیدی (A) در TES‌ها ذخیره می‌شود. در این شرایط، بر اساس رابطه (۱۶)، انرژی ذخیره شده در TES‌ها در ساعت t (E_t^T) بر حسب kWh کیلووات-ساعت) برابر مجموع E_t^T در ساعت قبل (E_{t-1}^T) و مازاد توان حرارتی تولیدی از دید TES‌ها (A) خواهد بود. پارامتر $\eta^{c,T}$ (بر حسب درصد) معرف راندمان شارژ TES است. ولی چنانچه بار حرارتی دارای مقدار بیشتری از توان حرارتی تولیدی BPG‌ها باشد، یعنی $H_t^{BPG} \leq H_t^L$. در مدد شارژ قرار دارند و کمبود انرژی مصرفی حرارتی را تأمین می‌کنند. در این شرایط بر اساس رابطه (۱۷)، E_t^T برابر متفاوت E_{t-1}^T و کمبود انرژی مصرفی از دید TES‌ها (B) خواهد بود. پارامتر $\eta^{d,T}$ (بر حسب درصد) معرف راندمان دشارژ TES است. در قید (۱۸)، محدودیت انرژی ذخیره شده در TES‌ها فرمول‌بندی شده است. پارامترهای \underline{E}^T و \bar{E}^T (بر حسب کیلووات-ساعت) به ترتیب معرف حداقل و حداقل انرژی ذخیره شده در یک TES است. درنهایت محدودیت تعداد TES‌ها در رابطه (۱۹) ارائه شده است، که پارامتر \bar{N}^T معرف حداقل تعداد TES‌های قابل نصب در سیستم ترکیبی است. پخش بار حرارتی همانند پخش بار الکتریکی در سیستم جزیره‌ای اشاره به تعادل تولید و مصرف در این سیستم دارد. به عبارتی باید مجموع توان حرارتی تولیدی منابع و ذخیره‌سازها (در مدد شارژ) برابر مجموع توان حرارتی مصرفی بار و ذخیره‌سازها (در مدد شارژ) باشد. این

موضوع در رابطه‌های (۱۶) و (۱۷) در بخش عملکرد ذخیره‌سازهای حرارتی قابل شهود است. به طوری که اگر توان تولیدی حرارتی بیشتر از توان حرارتی مصرفی باشد. ذخیره‌ساز برای ایجاد تعادل توان حرارتی، مازاد توان تولیدی را در خود ذخیره می‌کند. همچنین اگر توان حرارتی تولیدی کمتر از توان حرارتی مصرفی باشد، ذخیره‌سازی برای برقراری تعادل تولید و مصرف در مددشارژ قرار می‌گیرد و آن توان حرارتی به سیستم جزیره‌ای تزریق می‌کند.

$$E_t^T = E_{(t-1)}^T + \eta^{c,T} (H_t^{BPG} - H_t^L) \quad \text{if } H_t^{BPG} \geq H_t^L \quad \forall t \quad (16)$$

$$E_t^T = E_{(t-1)}^T - \frac{1}{\eta^{c,T}} (H_t^L - H_t^{BPG}) \quad \text{if } H_t^{BPG} < H_t^L \quad \forall t \quad (17)$$

$$N^T \underline{E}^T \leq E_t^T \leq N^T \bar{E}^T \quad \forall t \quad (18)$$

$$N^T \in \{1, 2, \dots, \bar{N}^T\} \quad (19)$$

و قیدهای مبدل‌های الکترونیک قدرت: بر اساس شکل (۳)، تعداد مبدل‌های الکترونیک قدرت (N^I) برابر مجموع تعداد مبدل‌ها در مسیر WT (N^{I-W} ، تعداد مبدل‌ها در مسیر BPG (N^{I-B} ، و تعداد مبدل‌ها در مسیر باس AC (N^{I-A}) است. این موضوع در رابطه (۲۰) ارائه شده است [۱]. N^{I-W} و N^{I-B} بر اساس رابطه‌های (۲۱)-(۲۳) برابر نسبت حداکثر توان عبوری از مبدل‌ها به توان نامی مبدل (\bar{P}^I بر حسب کیلووات-ساعت) هستند. در مبدل‌های موجود در مسیر WT (BPG ‌ها)، حداکثر توان اکتیو WT (BPG ‌ها) عبور می‌کند. در مبدل‌های موجود در مسیر باس AC ، توان P^I/η^I عبور می‌کند.

$$N^I = N^{I-W} + N^{I-B} + N^{I-A} \quad (20)$$

$$N^{I-W} = \frac{\max(P_t^{WT})}{\bar{P}^I} \quad (21)$$

$$N^{I-B} = \frac{\max(P_t^{BPG})}{\bar{P}^I} \quad (22)$$

$$N^{I-A} = \frac{\max\left(\frac{1}{\eta^I} P_t^L\right)}{\bar{P}^I} \quad (23)$$

۳- روش حل

مسئله بیان شده در رابطه‌های (۱) الی (۲۳) در قالب برنامه‌ریزی غیرخطی عدد صحیح^{۲۵} (MINLP) است. در این بخش از الگوریتم ترکیبی GWO [۱۷] و SCA [۱۸] برای حل مسئله استفاده می‌شود. بر اساس مرج‌های [۱۷] و [۱۸]، این دو الگوریتم قابلیت مطلوبی در استخراج راه حل بهینه در مسائل پیچیده مهندسی دارند. لذا ترکیب آن‌ها راه حل مطلوب‌تری را خواهد داشت. در این حل کننده، ابتدا به تعداد N (اندازه جمعیت) مقدار تصادفی برای متغیرهای تصمیم‌گیری شامل N^T ، N^{BPG} ، N^{WT} و N^{HT} بر اساس محدودیت مجاز‌شان به ترتیب در رابطه‌های (۲۴) الی (۲۷) تولید می‌شود. سپس N میزان برای متغیرهای وابسته مانند N^{I-A} ، N^{I-B} ، N^{I-W} ، N^{FC} ، N^{EL} ، E^T ، E^{HT} ، P^F ، P^E ، H^{BPG} ، P^{BPG} ، P^{WT} ، N^{I-L} و APC بر اساس رابطه‌های (۱)، (۳)، (۵) الی (۷)، (۹) الی (۱۱)، (۱۴) الی (۱۷) و (۲۰) الی (۲۳) و مقادیر متغیرهای تصمیم‌گیری محاسبه می‌شود. در این بخش به منظور رعایت قیدهای (۱۲) و (۱۸) از تکنیک تابع جریمه استفاده می‌شود [۱۹]. در این تکنیک، تابع برازنده‌گی (FF) برابر مجموع تابع هدف (۱) و توابع جریمه حاصل از قیدهای (۱۲) و (۱۸) است. تابع جریمه نیز برای قید $a \leq b$ به صورت $\mu \times \max(0, a-b)$ است. $0 \leq \mu \leq \max(0, a-b)$ معرف ضریب لاگرانژ است که مقدار آن همانند متغیرهای تصمیم‌گیری تعیین می‌شود. فرمول بندی تابع برازنده‌گی مبنی بر تکنیک توابع جریمه در رابطه (۲۸) ارائه شده است. در ادامه بهنگام‌سازی متغیرهای تصمیم‌گیری بر اساس محدودیت مجاز‌شان توسط GWO+SCA انجام می‌شود. در این بخش ابتدا GWO، N مقدار جدید برای متغیرهای تصمیم‌گیری و μ بر اساس بهترین مقدار FF در مرحله قبل به دست می‌آورد. سپس N مقدار متغیرهای وابسته و FF بر اساس مقادیر جدید متغیرهای تصمیم‌گیری و μ محاسبه می‌شوند. در ادامه SCA عملیات بهنگام‌سازی را انجام می‌دهد. آن N مقدار جدید برای متغیرهای تصمیم‌گیری و μ را بر اساس بهترین مقدار FF مستخرج شده از GWO به دست می‌آورد. سپس میزان متغیرهای وابسته و تابع برازنده‌گی محاسبه

می‌شوند. این فرایند تا دسترسی به نقطه همگرایی ادامه می‌یابد. در این بخش فرض بر این است که نقطه همگرایی بعد از حداکثر تکرار بهنگام‌سازی (I_{max}) قابل دسترس است.

$$N^{WT} \in Eq.(5) \quad (24)$$

$$N^{BPG} \in Eq.(9) \quad (25)$$

$$N^{HT} \in Eq.(13) \quad (26)$$

$$N^T \in Eq.(19) \quad (27)$$

$$FF = APC$$

$$\begin{aligned} & + \sum_t (\bar{\mu}_t^{HT} \max(0, E_t^{HT} - N^{HT} \bar{E}^{HT}) + \underline{\mu}_t^{HT} \max(0, N^{HT} \underline{E}^{HT} - E_t^{HT})) \\ & + \sum_t (\bar{\mu}_t^T \max(0, E_t^T - N^T \bar{E}^T) + \underline{\mu}_t^T \max(0, N^T \underline{E}^T - E_t^T)) \end{aligned} \quad (28)$$

۴- نتایج عددی

۱- داده‌های مسئله

در این بخش طرح پیشنهادی بر روی سیستم شکل (۲) متناسب با داده‌های شهر اسپو در فنلاند اعمال می‌شود [۱۹]. پیک بار AC و حرارتی به ترتیب برابر ۲۱ کیلووات و ۱۰ کیلووات است. میزان بار ساعتی برابر حاصل ضرب پیکبار و منحنی روزانه ضریب بار است. این منحنی برای بار AC و حرارتی در شکل (۳) نمایان است [۱۹]. حداکثر سرعت بار برابر $9/3$ متر بر ثانیه است و حداکثر گاز عبوری از BPG برابر $4/0$ متر-مکعب است. سرعت باد (گاز عبوری) ساعتی برابر حاصل ضرب حداکثر این پارامتر و منحنی نرخ سرعت باد (گاز عبوری) است. این منحنی بر WT (BPG) در شکل (۳) ترسیم شده است.^{۲۶} مشخصات منابع، ذخیره‌سازها و مبدل‌های قدرت در جدول‌های (۲) الی (۷) آرائه شده است. قابل توجه است که طرح پیشنهادی محدودیتی برای اجرا بر روی داده‌های مختلف ندارد. قابل توجه است که در شکل (۳) محور عمودی مقدار نسبی ^{۲۷} بار، سرعت باد و گاز عبوری از BPG را نمایش می‌دهد. مقدار نسبی یک پارامتر برابر نسبت مقدار واقعی آن با حداکثر مقدارش است.

۲- نتایج

طرح پیشنهادی متناسب با داده‌های بخش قبل به همراه روند حل مسئله متناسب با بخش ۳ در محیط نرم‌افزار متلب کدنویسی و شبیه‌سازی شده است. در ادامه نتایج عددی حاصل از دو حالت مطالعه زیر آرائه می‌شود.

- حالت اول: برنامه‌ریزی سیستم ترکیبی با در نظر گرفتن تنها تغذیه انرژی الکتریکی (در این حالت مدل حرارتی BPG و مدل بهره‌برداری TES حذف می‌شوند)، نزدیک به مطالعه انجام شده در مرجع‌های [۶] الی [۱۵].

- حالت دوم: برنامه‌ریزی سیستم ترکیبی جهت تغذیه همزمان انرژی الکتریکی و حرارتی (طرح پیشنهادی)
الف- ارزیابی وضعیت همگرایی حل مسئله برنامه‌ریزی سیستم ترکیبی: در جدول (۸) وضعیت همگرایی حل مسئله پیشنهادی با استفاده از الگوریتم‌های حل GWO، GWO+SCA، PSO [۱۷]، [۱۸]، [۱۹] و الگوریتم ژنتیک (GA) [۱۹] آرائه شده است.

Table (2): Wind turbine specifications [1]

جدول (۲): مشخصات توربین باد [۱]

پارامتر	کمیت	مقدار	پارامتر	کمیت	مقدار
توان خروجی	p^r	۱ کیلووات	نرخ بهره	r	۱۰ درصد
سرعت آستانه	v^{ci}	$2/5$ متر بر ثانیه	تعداد سال	N	۲۰
حداکثر تعداد توربین	\bar{N}^{WT}	۵۰	سرعت نامی	v^r	۱۰ متر بر ثانیه
هزینه توربین	C^{WT}	۳۲۰۰ دلار	سرعت قطع	v^{co}	۱۳ متر بر ثانیه
هزینه تعمیر و نگهداری	M^{WT}	۵ دلار بر سال	سال	عمر مفید	۲۰

Table (3): Specifications of biomass unit [7]

جدول (۳) : مشخصات بیوماس [۷]

پارامتر	کمیت	مقدار
راندمان الکتریکی	η_{BPG}	۳۵ درصد
راندمان تلفات	η_{BPG}	۱۵
راندمان تبدیل حرارتی	η_{hBPG}	۵۰ درصد
متان موجود در گاز	$\rho^{(CH_4)}$	۶۵ درصد
حد پایین حرارتی متان	LHV ^(CH₄)	۱۰ کیلووات-ساعت بر مترمکعب
تعداد (طول عمر مفید برای عملکرد)	BPG	۲۰ سال
حداکثر تعداد واحد بیوماس	\bar{N}^{BPG}	۳
هزینه واحد بیوماس	C ^{BPG}	۶۵۰۰ دلار
هزینه تعمیر و نگهداری	M ^{BPG}	۱۶/۲۵ دلار بر سال

Table (4): Specifications of thermal energy storage

جدول (۴) : مشخصات ذخیره ساز انرژی حرارتی

پارامتر	کمیت	مقدار
حداکثر انرژی ذخیره شده در یک TES	\bar{E}^T	۱/۳۵ کیلووات-ساعت
حداقل انرژی ذخیره شده در یک TES	E^T	۰/۱ کیلووات-ساعت
راندمان شارژ	$\eta^{e,T}$	۸۰ درصد
تعداد (طول عمر مفید برای عملکرد)	TES	۲۰ سال
حداکثر تعداد های قابل نصب	\bar{N}^T	۳۵
هزینه نصب	C ^T	۲۰۰۰ دلار
هزینه تعمیر نگهداری	M ^T	۱/۵ دلار بر سال

Table (5): Characteristics of electrolysis and hydrogen tank

جدول (۵) : مشخصات الکترولیز و تانک هیدروژنی

پارامتر	کمیت	مقدار
حد بالای انرژی ذخیره شده در HT	\bar{E}^{HT}	۱/۳۵ کیلووات-ساعت
حد پایین انرژی ذخیره شده در HT	E^{HT}	۰/۱۰ کیلووات-ساعت
تعداد (طول عمر مفید برای عملکرد)	EL, HT	۲۰ سال
تعداد (طول عمر مفید برای عملکرد)	FC	۵ سال
حداکثر تعداد	\bar{N}^{HT}	۲۰۰
هزینه نصب EL	C ^{EL}	۲۰۰۰ دلار
هزینه تعمیر و نگهداری EL	M ^{EL}	۱/۲۵ دلار بر سال
هزینه نصب HT	C ^{HT}	۱۳۰۰ دلار
هزینه تعمیر و نگهداری HT	M ^{HT}	۰/۸ دلار بر سال
هزینه نصب FC	C ^{FC}	۳۰۰۰ دلار
هزینه تعمیر و نگهداری FC	M ^{FC}	۸/۷۵ دلار بر سال

Table (6): Characteristics of hydrogen storage

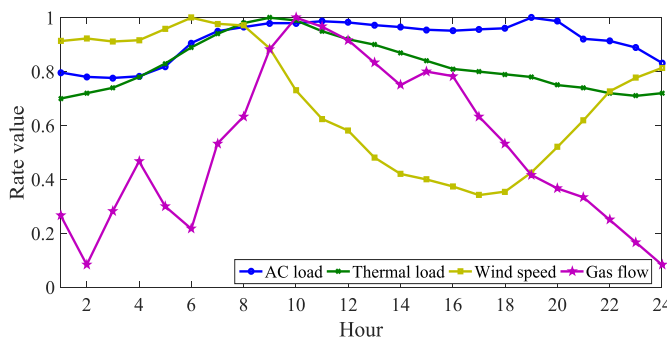
جدول (۶) : مشخصات ذخیره ساز هیدروژنی

پارامتر	کمیت	مقدار
راندمان EL	η^E	۷۵ درصد
راندمان FC	η^F	۵۰ درصد
توان نامی EL	\bar{P}^{EL}	۱ کیلووات - ساعت
توان نامی FC	\bar{P}^{FC}	۱ کیلووات - ساعت

Table (7): Specifications of power converter

جدول (۷): مشخصات مبدل قدرت

پارامتر	کمیت	مقدار
راندمان	η^I	۹۰ درصد
توان نامی مبدل	\bar{P}^I	۱ کیلووات - ساعت
تعداد (طول عمر مفید)	EL(Y)	۱۵ سال
هزینه نصب	C ^I	۸۰۰ دلار
هزینه تعمیر و نگهداری	M ^I	۰/۴ دلار بر سال



شکل (۳): منحنی روزانه ضریب بار، نرخ سرعت باد توربین بادی و نرخ گاز عبوری بیوماس

Figure (3): Daily curve of load factor, WT wind speed rate and BPG passing gas rate

الف- ارزیابی وضعیت همگرایی حل مسئله برنامه‌ریزی سیستم ترکیبی: در جدول (۸) وضعیت همگرایی حل مسئله پیشنهادی با استفاده از الگوریتم‌های حل GWO، GWO+SCA [۱۷]، PSO [۱۸]، SCA [۱۹] و الگوریتم ژنتیک (GA) [۱۹] ارائه شده است. اندازه جمعیت برابر ۸۰ در نظر گرفته شده و حداکثر تکرار همگرایی برابر ۴۰۰۰ لحاظ شده است. دیگر پارامترهای تنظیم حل کننده‌ها متناسب با مراجعهای [۱۷]، [۱۸] و [۱۹] انتخاب شده است. همچنین به منظور انجام محاسبات آماری مانند انحراف معیار پاسخ‌دهی نهایی، هر حل کننده مسئله مذکور را ۳۰ بار حل می‌کند. در ادامه بر اساس نتایج عددی گزارش شده در جدول (۸) مشاهده می‌شود که الگوریتم ترکیبی GWO+SCA نسبت به NHEAها توانسته است کمینه‌ترین نقطه را به دست آورد. به طوری که در آن APC برابر ۳۴۴۶/۴ دلار است، ولی NHEAها بیش از ۳۴۱۰۰ دلار برای APC به دست آورده‌اند. همچنین GWO+SCA بهینه‌ترین نقطه را در تکرار ۸۱۲ و زمان ۱۲۲ ثانیه به دست آورده است، به عبارت دیگر این نقطه را در تکرار ۸۱۲ و زمان ۱۲۲ ثانیه به دست می‌آورد. در صورتی که زمان محاسباتی NHEAها بیش از ۱۶۵ ثانیه است. به عنوان نکته دیگر، GWO+SCA کمترین انحراف معیار، یعنی ۹۴/۰ درصد را دارد. این به این معنی است که الگوریتم ترکیبی مذکور توانسته است پراکندگی بسیار پایینی را نسبت به NHEAها برای مسئله پیشنهادی به دست آورد، یا قادر است تقریباً راه حل یکتاً را به دست آورد. در جدول (۸) نتایج همگرایی حل مسئله به‌ازای دو الگوریتم ریاضی بارون^{۲۹} و بونمین^{۳۰} نیز بیان شده است. برای حل مسئله با این الگوریتم‌ها طرح پیشنهادی در محیط نرم‌افزار بهینه‌سازی گمز شبیه‌سازی شد. بر اساس نتایج عددی گزارش شده در جدول (۸)، این الگوریتم‌ها با وجود این که دارای تکرار همگرایی پایینی نسبت به الگوریتم‌های تکاملی هستند، ولی زمان محاسباتی آن‌ها بسیار بالاتر از الگوریتم‌های تکاملی است، زیرا در الگوریتم‌های ریاضی هم‌زمان تمامی متغیرها محاسبه می‌شوند ولی در الگوریتم‌های تکاملی ابتدا به متغیرهای تصمیم‌گیری مقداردهی می‌شود و سپس میزان متغیرهای وابسته محاسبه می‌شوند. ازین‌رو روند حل مسئله با الگوریتم‌های ریاضی پیچیده و سنگین است، ولی الگوریتم‌های تکاملی روند ساده‌تری در حل مسئله دارند. این موضوع منجر به کاهش زمان محاسباتی حل کننده‌های تکاملی نسبت به الگوریتم‌های ریاضی می‌شود. الگوریتم‌های ریاضی در هر تکرار حل مسئله یک راه حل را نمایش می‌دهند. به طوری که بر اساس جدول (۳)، میزان انحراف معیار پاسخ‌دهی نهایی آن‌ها برابر صفر است. علاوه بر این توجه شود که در حل مسائل غیرخطی، حل کننده‌ای مطلوب است که دارای راه حل بهینه‌تر باشد. زیرا که نقطه بهینه آن نزدیک‌تر به نقطه بهینه سراسری

خواهد بود. با توجه به این نکته الگوریتم ترکیبی GWO+SCA در بین الگوریتم‌های حل بیان شده دارای شرایط یاد شده است؛ بنابراین با توجه با نتایج مطرح شده، الگوریتم ترکیبی GWO+SCA توانسته است دقیق‌ترین راه حل را با سرعت همگرایی بالای نسبت به NHEAها و الگوریتم‌های ریاضی استخراج کند. این موضوع اثبات‌کننده نوآوری آخر در بخش ۱ است.

ب- استخراج ساختار اقتصادی برای سیستم ترکیبی: در جدول‌های (۲) الی (۷) اندازه (تعداد) بهینه منابع، ذخیره‌سازها و مبدل‌های الکترونیک قدرت در سیستم ترکیبی شکل (۲) به ازای حالت‌های مختلف مطالعه ۱ و ۲ ارائه شده است. در حالت ۱ مدل انرژی مصرفی حرارتی مدنظر نیست؛ لذا در این حالت مطالعه ۵۰ عدد توربین بادی و ۸ عدد بیوماس در سیستم ترکیبی نصب می‌شوند. بر اساس جدول (۲)، هزینه احداث، تعمیر و نگهداری WT نسبت به BPG کمتر است، از این‌رو در حالت ۱ برای تأمین انرژی الکتریکی، حداکثر تعداد قابل نصب WT، بر اساس جدول (۱) برابر ۵۰ است، انتخاب می‌شود. در ادامه برای پوشش فاصله بین پروفیل توان اکتیو تولیدی منابع تجدیدپذیر مذکور و توان اکتیو بار AC، ذخیره‌ساز هیدروژن نیاز به ۲۲ تا الکتروولیزره، ۱۵ تا پیل سوختی و ۱۳۲ تا تانک هیدروژنی دارد. برای عبور حداکثر توان اکتیو WT‌ها از مبدل الکترونیک قدرت، نیاز است ۴۶ مبدل در مسیر WT‌ها قرار گیرد. همچنین ۸ مبدل در مسیر BPG‌ها قرار می‌گیرد تا اینکه حداکثر توان اکتیو BPG‌ها را خود عبور دهند. برای عبور حداکثر توان اکتیو بار AC نیز نیاز به ۲۴ مبدل است؛ بنابراین حالت ۱ درمجموع نیاز به ۷۸ مبدل الکترونیک قدرت دارد. در حالت ۲ مدل انرژی مصرفی حرارتی علاوه برای انرژی مصرفی الکتریکی لحاظ شده است. اضافه شدن مدل بار حرارتی منجر به شده است که تعداد BPG‌ها نسبت به حالت ۱، ۱۸ عدد افزایش یابد (تعداد آن‌ها در حالت ۲، ۲۶ عدد است)، تعداد مبدل‌های آن ۱۶ عدد افزایش می‌یابد (۲۴ عدد مبدل)، و ۳۲ عدد TES نیز برای پوشش فاصله بین پروفیل توان حرارتی تولید BPG و توان حرارتی مصرفی لازم است. ولی نسبت به حالت ۱، ۲۱ عدد WT کاهش یافته است، ۱۹ عدد مبدل مربوط به WT‌ها کاهش یافته است، تعداد EL و FC به ترتیب به ۱۶ و ۱۰ عدد کاهش یافته‌اند و تعداد HT‌ها به ۷۳ عدد کاهش یافته است. توجه شود که در طرح پیشنهادی تنها BPG تولیدکننده انرژی حرارتی است. از این‌رو برای تأمین بار حرارتی، تعداد آن‌ها نسبت به حالت ۱ افزایش یافت. اما از آنجا که انرژی مصرفی الکتریکی در حالت ۱ و ۲ یکسان است، لذا با افزایش تعداد BPG‌ها، باید تعداد WT‌ها کاهش یابد، که این موضوع در جدول (۹) قابل مشاهده است. در جدول‌های (۱۰) الی (۱۲)، هزینه‌های احداث سالیانه، تعمیر و نگهداری سالیانه برای منابع، ذخیره‌سازها و مبدل‌های الکترونیک قدرت با توجه به نتایج برنامه‌ریزی عناصر یاد شده بیان شده است. توجه شود که هزینه احداث سالانه برای یک عنصر بر اساس داده‌های جدول (۱) برابر حاصل تقسیم C و عمر مفید است. بر اساس جدول (۹) الی (۱۲) دیده می‌شود که کمترین هزینه احداث و تعمیر و نگهداری برای EL، FC، HT‌ها، و مبدل‌های قدرت در حالت ۲ وجود دارد، ولی آن برای BPG و TES‌ها در حالت ۱ وجود دارد. پس به طور کلی کمترین مقدار این هزینه‌ها برای HS در حالت ۲ وجود دارد. این نتایج متناظر با تعداد عناصر یاد شده در جدول (۱۰) است. در نهایت کمترین مقدار هزینه احداث (تعمیر و نگهداری) برای سیستم ترکیبی شکل (۲) در حالت ۲ (۱) حاصل شده است. البته توجه شود که در حالت ۲، مدل انرژی مصرفی حرارتی وجود دارد. بنابراین با مقایسه حالت‌های ۱ و ۲ مشاهده می‌شود که طرح پیشنهادی (حالت ۲) با کاهش ۵ درصد (۳۴۳۴۰-۳۴۳۴۰) در هزینه سالیانه احداث و افزایش ۱/۲ درصد برای هزینه سالیانه تعمیر و نگهداری نسبت به حالت ۱ توانسته است بار حرارتی را با BPG‌ها تغذیه کند. در جدول (۱۲) مقادیر APC برای سیستم ترکیبی در حالت‌های مختلف مطالعاتی متناظر بیان شده که برابر مجموع هزینه سالیانه احداث و هزینه سالیانه تعمیر و نگهداری است. این میزان برای حالت ۲ کمترین مقدار را دارد. پس با وجود اینکه در حالت ۲ بار حرارتی تغذیه می‌شود، در این حالت هزینه برنامه‌ریزی نسبت به حالت ۱ در حدود ۴/۵ درصد کاهش دارد.

ج- بررسی وضعیت عملکرد عناصر سیستم ترکیبی: در شکل‌های (۴) و (۵) منحنی روزانه توان اکتیو و حرارتی منابع و ذخیره‌سازها به ازای حالت‌های ۱ و ۲ نمایش داده شده است. شکل (۴) نتایج مربوط حالت ۱ را نمایش می‌دهد که در آن مدل انرژی حرارتی مدنظر نیست. بر اساس شکل (۴)، WT‌ها متناسب با داده‌های سرعت باد در شکل (۳)، توان اکتیو بالایی را در ساعت ۱۱:۰۰ و ۲۱:۰۰ الی ۲۴:۰۰ تولید می‌کنند، ولی توان تولیدی آن‌ها در ساعت دیگر پایین است. همچنین BPG‌ها بر اساس داده‌های گاز حاصل از بیوماس در شکل (۳)، در ساعت ۷:۰۰ الی ۲۰:۰۰ توان اکتیو بالایی را تولیدی می‌کنند، در صورتی سطح توان اکتیو تولیدی آن‌ها در ساعت دیگر پایین است.

Table (8): The state of convergence of the proposed design obtained from different solution algorithms for case 2

جدول (۸): وضعیت همگرایی طرح پیشنهادی به دست آمده از الگوریتم‌های حل مختلف برای مورد ۲

حل کننده	هزینه سالیانه برنامه‌ریزی (دلار بر سال)	انحراف معیار (درصد)	زمان محاسباتی (ثانیه)	تکرار همگرایی
GWO+SCA	۳۳۴۴۶/۴	۰/۹۴	۱۲۲	۸۱۲
GWO	۳۴۱۱۴/۴	۱/۲۶	۱۶۸	۱۲۶۴
SCA	۳۴۵۲۵/۲	۱/۳۱	۱۷۵	۱۲۷۹
PSO	۳۵۹۶۷/۳	۲/۵۴	۲۰۹	۲۴۸۱
GA	۳۶۵۴۸/۴	۳/۱۹	۲۷۶	۳۰۸۵
BARON	۳۴۴۲۱/۳	.	۶۷۱	۲۴۵
BONMIN	۳۴۰۷۲/۱	.	۵۸۵	۱۹۴

Table (9): Number of energy sources

جدول (۹): تعداد منابع انرژی

تعداد									حالت
توربین‌های بادی	بیوماس‌ها	ذخیره‌سازهای انرژی حرارتی	الکتروولیزرهای	تانک‌های هیدروژنی	پیل‌های سوختی	مدل‌های در مسیر توربین‌های بادی	مدل‌های در مسیر بیوماس‌ها	مدل‌های در مسیر بار AC	
۵۰	۸	۰	۲۲	۱۳۲	۱۵	۴۶	۸	۲۴	۱
۲۹	۲۶	۳۲	۱۶	۷۳	۱۰	۲۷	۲۴	۲۴	۲

Table (10): Annual construction cost (dollars per year)

جدول (۱۰): هزینه احداث سالیانه (دلار بر سال)

هزینه احداث سالانه (دلار بر سال)									حالت
کل	توربین‌های بادی	بیوماس‌ها	ذخیره‌سازهای انرژی حرارتی	الکتروولیزرهای	تانک‌های هیدروژنی	پیل‌های سوختی	کل مبدل‌های قدرت		
۳۴۳۴۰	۸۰۰۰	۲۶۰۰	۰	۲۲۰۰	۸۵۸۰	۹۰۰۰	۴۱۶۰	۱	
۳۲۶۳۵	۴۶۴۰	۸۴۵۰	۳۲۰۰	۱۶۰۰	۴۷۴۵	۶۰۰۰	۴۰۰۰	۲	

Table (11): Annual Maintenance Cost (Dollars Per Year)

جدول (۱۱): هزینه تعمیر و نگهداری سالیانه (دلار بر سال)

هزینه تعمیر و نگهداری سالانه (دلار بر سال)									حالت
کل	توربین‌های بادی	بیوماس‌ها	ذخیره‌سازهای انرژی حرارتی	الکتروولیزرهای	تانک‌های هیدروژنی	پیل‌های سوختی	کل مبدل‌های قدرت		
۶۷۵/۵۵	۲۵۰	۱۳۰	۰	۲۷/۵	۱۰۵/۶	۱۳۱/۲۵	۳۱/۲	۱	
۸۱۱/۴	۱۴۵	۴۲۲/۵	۴۸	۲۰	۵۸/۴	۸۷/۵	۳۰	۲	

Table (12): Annual Planning Cost

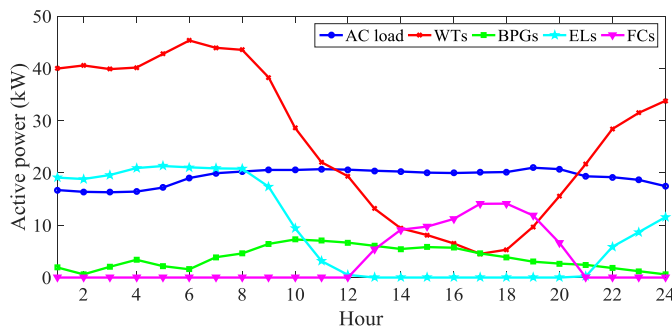
جدول (۱۲): هزینه برنامه‌ریزی سالانه

هزینه برنامه‌ریزی سالانه									حالت
کل	توربین‌های بادی	بیوماس‌ها	ذخیره‌سازهای انرژی حرارتی	الکتروولیزرهای	تانک‌های هیدروژنی	پیل‌های سوختی	کل مبدل‌های قدرت		
۳۵۰۱۵/۵۵	۸۲۵۰	۲۷۳۰	۰	۲۲۲۷/۵	۸۶۸۵/۶	۹۱۳۱/۲۵	۴۱۹۱/۲	۱	
۳۳۴۴۶/۴	۴۷۸۵	۸۸۷۲/۵	۳۲۴۸	۱۶۲۰	۴۸۰۳/۴	۶۰۸۷/۵	۴۰۳۰	۲	

در ادامه با توجه به عملکرد و تعداد منابع تجدیدپذیر متناظر با جدول (۴)، ELها در ساعات ۱۰:۰۰-۱۴:۰۰ و ۲۰:۰۰-۲۴:۰۰ در مورد ۱ فعال هستند و برق از منابع می‌گیرند و سپس هیدروژن در HT ذخیره می‌کنند. زیرا که در این ساعات توان اکتیو منابع

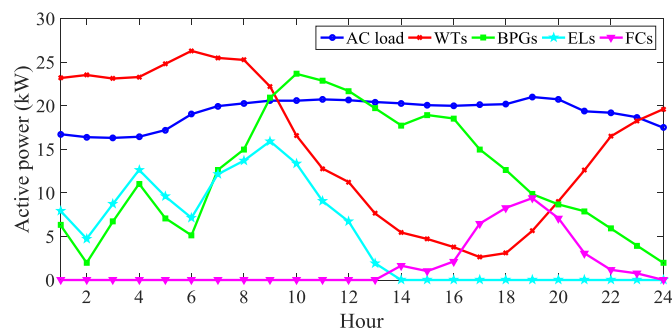
بیش از بار AC است. به عبارتی در این ساعت HS در مدار شارژ قرار دارد. در ساعت دیگر، FC فعال است و آن هیدروژن از HT می‌گیرد و به صورت توان اکتیو به بار AC می‌دهد. به عبارتی در این شرایط، HS در مدار شارژ قرار داد. منحنی روزانه عملکرد منابع و ذخیره‌سازها در حالت ۲ در شکل (۵) ترسیم شده است. نحوه عملکرد منابع و ذخیره‌سازها در بخش الکتریکی برای حالت ۲ بر اساس شکل (۵-الف) شبیه عملکرد آن‌ها در حالت ۱ است، با این تفاوت که مقادیر توان اکتیو آن‌ها متفاوت است.

بر اساس شکل (۵-ب) مشاهده می‌شود که روند تغییرات توان حرارتی BPGها مثل توان اکتیو آن است که این موضوع در رابطه (۷) نیز قابل مشهود است. همچنین توان حرارتی BPGها در ساعت ۸:۰۰-۱۸:۰۰ بیش از بار حرارتی است و در ساعت دیگر عکس این موضوع وجود دارد؛ لذا در ساعت ۸:۰۰-۱۸:۰۰ در مدار شارژ قرار دارند (توان آن‌ها مثبت است) و در ساعت دیگر ساعت به صورت دشارژ کار می‌کنند (توان آن‌ها منفی است).

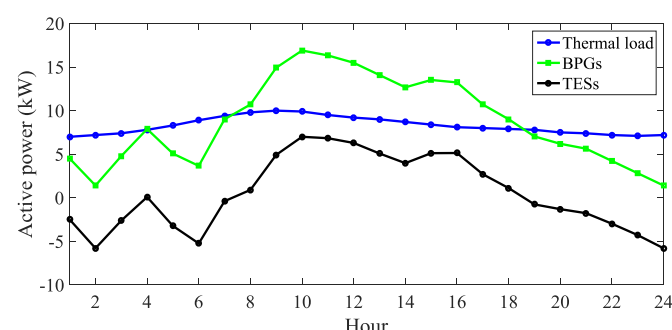


شکل (۴): منحنی روزانه توان اکتیو توربین‌های بادی، بیوماس‌ها، الکتروولیزرهای پیل‌های سوختی در حالت اول

Figure (4): Daily active power curve of WT, BPG, EL, and FC in case 1



(الف) توان اکتیو توربین‌های بادی، بیوماس‌ها، الکتروولیزرهای پیل‌های سوختی



(ب) توان حرارتی بیوماس‌ها و ذخیره‌سازهای انرژی حرارتی

شکل (۵): منحنی روزانه در حالت دوم

Figure (5): Daily curve in case 2, a) Active power of WT, BPG, and FC, b) Thermal power of BPGs and TESs

۵- نتیجه‌گیری

در این مقاله برنامه‌ریزی بهینه سیستم ترکیبی ۱۰۰ درصد تجدیدپذیر دارای توربین بادی، واحد انرژی بیوماس، ذخیره‌ساز هیدروژنی و ذخیره‌سازی انرژی حرارتی به منظور تأمین هم‌زمان انرژی الکتریکی و حرارتی ارائه شد. طرح پیشنهادی کمینه‌سازی مجموع هزینه سالیانه احداث، تعمیر و نگهداری منابع، ذخیره‌سازها و مبدل‌های الکترونیک قدرت را لحاظ کرده بود. آن مقید به مدل بهره‌برداری این عناصر بود. مدل بهره‌برداری این عناصر به این صورت که منابع تجدیدپذیر اولویت در تأمین انرژی مصرفی دارند، و سپس ذخیره‌سازها جهت پوشش فاصله بین پروفیل توان منابع و بار استفاده شدند. سپس الگوریتم ترکیبی GWO و SCA برای حل مسئله استفاده شد. بر اساس نتایج عددی مشاهده شد که الگوریتم مذکور نسبت به NHEAها بهینه‌ترین راه حل را با سرعت همگرایی بالاتری به دست آورد. همچنین آن دارای انحراف معیار پایین در حدود ۰/۹۴ درصد در پاسخ‌دهی نهایی است که این موضوع نمایانگر پراکندگی پایین پاسخ نهایی نسبت به NHEAها است. سپس طرح پیشنهادی تعداد بهینه‌ای برای منابع، ذخیره‌سازها و مبدل‌های الکترونیک قدرت به دست آورد. به طوری در نظر گرفتن مدل بار حرارتی منجر به افزایش تعداد واحدهای بیوماس و ذخیره‌ساز حرارتی نسبت به سیستم ترکیبی بدون بار حرارتی می‌شود، ولی در قبال آن تعداد توربین‌های بادی، ذخیره‌ساز هیدروژنی و مبدل‌ها کاهش می‌یابد. این موردها باعث شده که هزینه برنامه‌ریزی سیستم دارای بارهای حرارتی و الکتریکی در حدود ۴/۵ درصد نسبت به سیستم دارای تنها بار الکتریکی کاهش یابد. بنابراین، نتایج بیان شده بیانگر ویژگی‌های طرح پیشنهادی حاصل از مدل‌سازی هم‌زمان مدیریت انرژی‌های الکتریکی و حرارتی، فرمول‌بندی عملکرد واحد بیوماس مبنی بر تکنولوژی CHP و مدل‌سازی ذخیره‌ساز حرارتی است.

سپاسگزاری

این مقاله مستخرج از طرح تحقیقاتی در دانشگاه افسری امام علی (ع) و دانشگاه فرماندهی ستاد آجا است. نویسنده‌گان بر خود لازم می‌دانند مراتب تشکر صمیمانه خود را از همکاران حوزه پژوهشی دانشگاه آزاد اسلامی و داوران محترم که ما را در انجام و ارتقای کیفی این مقاله یاری نموده‌اند، اعلام نمایند.

References

مراجع

- [1] F. Khalafian, "Robust planning of the islanded hybrid system including renewable and non-renewable sources and stationary and mobile storages", Journal of Intelligent Procedures in Electrical Technology, vol. 14, no. 53, pp. 15-32, June 202e (doi: 20.1001.1.23223871.1402.14.53.2.6).
- [2] M. Sattar, M. Samiei Moghaddam, A. Azadfar, N. Salehi, M. Vahedi, "Joint optimization of integrated energy systems in the presence of renewable energy sources, power-to-gas systems and energy storage", Journal of Intelligent Procedures in Electrical Technology, vol. 15, no. 57, pp. 15-30, June 2024 (doi: 20.1001.1.23223871.1403.15.57.2.1).
- [3] M.A. Voelklein, D. Rusmanis, J.D. Murphy, "Biological methanation: Strategies for in-situ and ex-situ upgrading in anaerobic digestion", Applied Energy, vol. 235, pp. 1061-1072, Feb. 2019 (doi: 10.1016/j.apenergy.2018.11.006).
- [4] R. Homayoun, B. Bahmani-Firouzi, T. Niknam, "Multi-objective operation of distributed generations and thermal blocks in microgrids based on energy management system", IET Generation, Transmission and Distribution, vol. 15, no. 9, pp. 1451-1462, May 2022 (doi: 10.1049/gtd.2.12112).
- [5] R. Homayoun, B. Bahmani-Firouzi, T. Niknam, "Multi-objective optimization minimizing cost and life cycle emissions of stand-alone PV–wind–diesel systems with batteries storage", Applied Energy, vol. 88, pp. 4033–4041, Nov. 2011 (doi: 10.1016/j.apenergy.2011.04.019).
- [6] M.A. Ashraf, Z. Liu, A.A. Alizadeh, S. Nojavan, K. Jermsittiparsert, D. Zhang, "Designing an optimized configuration for a hybrid PV/diesel/battery energy system based on metaheuristics: A case study on Gobi Desert", Journal of Cleaner Production, vol. 270, Article Number: 112467, Oct. 2020 (doi: 10.1016/j.jclepro.2020.122467).
- [7] H. Sun, A.G. Ebadi, M. Toughani, S.A. Nowdeh, A. Naderipour, A. Abdullah, "Designing framework of hybrid photovoltaic-biomass energy system with hydrogen storage considering economic and technical indices using whale optimization algorithm", Energy, vol. 238, Article Number: 121555, Jan. 2022 (doi: 10.1016/j.energy.2021.121555).

- [8] A. Naderipour, A.R. Ramtin, A. Abdullah, M. Hedayati Marzbali, S.A. Nowdeh, H. Kamyab, "Hybrid energy system optimization with battery storage for remote area application considering loss of energy probability and economic analysis", Energy, vol. 239, Article Number: 122303, Jan. 2022 (doi: 10.1016/j.energy.2021.1-22303).
- [9] A. Maleki, A. Askarzadeh, "Optimal sizing of a PV/wind/diesel system with battery storage for electrification to an off-grid remote region: A case study of Rafsanjan, Iran", Sustainable Energy Technologies and Assessments, vol. 7, pp. 147-153, Sept. 2014 (doi: 10.1016/j.seta.2014.04.005).
- [10] A. Maleki, A. Askarzadeh, "Distribution generation by photovoltaic and diesel generator systems: Energy management and size optimization by a new approach for a stand-alone application", Energy, vol. 122, pp. 542-551, Mar. 2017 (doi: 10.1016/j.energy.2017.01.105).
- [11] T. Salameh, M.A. Abdelkareem, A.G. Olabi, E.T. Sayed, M. Al-Chaderchi, H. Rezk , "Integrated standalone hybrid solar PV, fuel cell and diesel generator power system for battery or supercapacitor storage systems in Khorfakkan, United Arab Emirates", International Journal of Hydrogen Energy, vol. 46, no. 8, pp. 6014-6027, Jan. 2021 (doi: 10.1016/j.ijhydene.2020.08.153).
- [12] C. Li, D. Zhou, H. Wang, H. Cheng, D. Li, "Feasibility assessment of a hybrid PV/diesel/battery power system for a housing estate in the severe cold zone—A case study of Harbin, China", Energy, vol. 185, pp. 671-681, Oct. 2019 (doi: 10.1016/j.energy.2019.07.079).
- [13] L.K. Gan, J.K. Shek, M.A. Mueller, "Analysis of tower shadow effects on battery lifetime in standalone hybrid wind-diesel-battery systems", IEEE Trans. on Industrial Electronics, vol. 64, no. 8, pp. 6234-6244, Aug. 2017 (doi: 10.1109/TIE.2017.2682817).
- [14] P. Marocco, D. Ferrero, A. Lanzini, M. Santarelli, "The role of hydrogen in the optimal design of off- grid hybrid renewable energy systems", Journal of Energy Storage, vol. 46, Article Number: 103893, Feb. 2022 (doi: 10.1016/j.est.2021.103893).
- [15] T.R. Ayodele, T.C. Mosetlhe, A.A. Yusuff, A.S.O. Ogunjuyigbe, "Off-grid hybrid renewable energy system with hydrogen storage for South African rural community health clinic", International Journal of Hydrogen Energy, vol. 46, no. 38, pp. 19871-19885, June 2021 (doi: 10.1016/j.ijhydene.2021.03.140).
- [16] H. Rahbarimaghams, "Optimal control of micro-grid (MG) to improve voltage profile including combined heat and power system", Journal of Intelligent Procedures in Electrical Technology, vol. 9, no. 36, pp. 43-50, Jan. 2019 (doi: 20.1001.1.23223871.1397.9.36.5.0).
- [17] S.A. Mirjalili, S.M. Mirjalili, A. Lewis, "Grey wolf optimizer", Advances in Engineering Software, vol. 69, pp. 46-61, Mar. 2014 (doi: 10.1016/j.advengsoft.2013.12.007).
- [18] K. Sarwagya, P.K. Nayak, S. Ranjan, "Optimal coordination of directional overcurrent relays in complex distribution networks using sine cosine algorithm", Electric Power Systems Research, vol. 187, Article Number: 106435, pp. 106435, Oct. 2020 (doi: 10.1016/j.epsr.2020.106435).
- [19] W.K.A. Najy, H.H. Zeineldin, W.L. Woon, "Optimal protection coordination for microgrids with grid-connected and islanded capability", IEEE Trans. on Industrial Electronics, vol. 60, no. 4, pp. 1668-1677, April 2013 (doi: 10.1109/TIE.2012.2192893).

زیرنویس‌ها

- | | |
|---------------------------------------|---|
| 1. Renewable energy sources (RESs) | 16. Fuel cell (FC) |
| 2. Bio-waste units | 17. Gray wolf optimizer (GWO) |
| 3. Combined heat and power (CHP) | 18. Sine-cosine algorithm (SCA) |
| 4. Islanded hybrid system | 18. Net present cost |
| 5. Loss of energy probability (LOEP) | 20. Cut-in wind speed |
| 6. Wind turbine (WT) | 21. Rate wind speed |
| 7. Photovoltaic (PV) | 22. Rate power |
| 8. Harmony search algorithm (HAS) | 23. Cut-out wind speed |
| 9. Loss of power supply (LPS) | 24. Lower heating value |
| 10. Particle swarm optimization (PSO) | 25. Mixed integer non-linear programming (MINLP) |
| 11. Bio-waste power generation (BPG) | 26. https://www.nordpoolgroup.com/historical-market-data/ |
| 12. Hydrogen storage (HS) | 27. Rate value |
| 13. Thermal energy storage (TES) | 28. Genetic algorithm (GA) |
| 14. Electrolyzer (EL) | 29. Baron |
| 15. Hydrogen tank (HT) | 30. Bonmin |